

О ПРИРОДЕ К-ЦЕНТРА В КРЕМНИИ

Берман Л. С., Витовский Н. А., Ломасов В. Н., Ткаченко В. Н.

Методами емкостной спектроскопии исследована зависимость скорости введения A - и K -центров в p -базе кремниевых диодов, облученных электронами с энергией 900 кэВ, от электрического поля в области объемного заряда. Показано, что электрическое поле увеличивает скорость введения A - и K -центров. Исследована зависимость скорости введения K -центров от энергии электронов в интервале 300–900 кэВ. Эта зависимость совпадает с измеренными ранее энергетическими зависимостями скоростей введения A -центров и комплексов межузельный—узельный углерод. На основании анализа экспериментальных данных показано, что K -центр содержит помимо кислорода и углерода одну вакансию.

При облучении кремния электронами с энергией $\varepsilon > 250$ кэВ в нем образуется K -центр — кислородно-углеродный комплекс. Однако, несмотря на многочисленные исследования (см., например, [1–7]), о его природе существуют различные представления. Так, согласно [8–10], в K -центр входят только кислород и углерод (CO), согласно [5, 11, 12], — кислород, углерод и вакансия (COV), а согласно [13, 14], — кислород, углерод и дивакансия (COV_2). Целью настоящей работы является уточнение представлений о природе K -центра.

Образцы. Известно, что в кремнии, облученном электронами, образуется наряду с K -центром комплекс $\text{C}_i\text{—C}_s$ (межузельный—узельный углерод), нижний (донорный) уровень которого близок к уровню K -центра, причем в кремнии с высокой концентрацией кислорода скорость введения K -центров v_K много больше скорости введения $\text{C}_i\text{—C}_s$, $v_{\text{C}_i\text{—C}_s}$ [10, 15–17]. Поэтому для наших исследований были изготовлены n^+ — p -диоды из p -Si(Cz). Область n^+ создавалась диффузией фосфора. Глубина залегания n^+ — p -перехода $x_j=1$ мкм. Все образцы облучались электронами со стороны области n^+ . Источник электронов тот же, что и в работе [18]. Интенсивность облучения при всех энергиях $J=6 \cdot 10^{13} \text{ см}^{-2} \cdot \text{с}^{-1}$. Были изготовлены две группы образцов: I — для исследования влияния электрического поля на скорость введения радиационных дефектов (РД), II — для исследования энергетической зависимости скорости введения K -центров.

Группа I. Образцы с удельным сопротивлением базы $\rho_0=1.8 \text{ Ом}\cdot\text{см}$. Контакты к базе и к области n^+ полосковые. Облучение электронами с энергией $\varepsilon=900$ кэВ, дозой $\Phi=5 \cdot 10^{16} \text{ см}^{-2}$: два образца (группа Ia) — при обратном напряжении 5 В, что соответствует толщине области объемного заряда (003) 1 мкм и максимальному электрическому полю $E_{\text{u}}=1.2 \cdot 10^5 \text{ В/см}$, а два образца (группа Iб) — без обратного напряжения.

Группа II. Образцы с $\rho_0=40 \text{ Ом}\cdot\text{см}$. Облучение электронами (без обратного напряжения) в интервале энергий $\varepsilon=300$ —900 кэВ при $T_{\text{об}}=300$ и 500 К. При каждом значении энергии и температуры облучались по два образца, расположенных на одной пластине.

Методика измерений

Для идентификации РД и измерения их концентрации использовался емкостный метод [19]. Измерительная установка описана в работе [20]. Релаксация емкости $C(t)$ в ходе перезарядки K -центров измерялась после переключе-

ния от 0.5 до 5 В (для образцов группы I) и от 0.5 до 10 В (для образцов группы II). Для измерения концентрации A-центров (комплекс вакансия—кислород с уровнем $E_c=0.17$ эВ) в образцах группы I использовалось оптическое возбуждение со стороны базы [19, с. 23]. Зависимость $v_K(\varepsilon)$ в образцах группы II измерялась методом двойной изотермической релаксации емкости (см. [21]).

Результаты измерений и их обсуждение

Группа I. В p -базе в слое 1 мкм, примыкающем к области n^+ (т. е. в слое, равном для группы Ia толщине ООЗ при облучении), средняя концентрация A-центров N_A составляет: для группы Ia $N_{A(Ia)}=0.4 \cdot 10^{14}$, для группы Iб $N_{A(Ib)}=0.2 \cdot 10^{14} \text{ см}^{-3}$, т. е. при облучении с внешним электрическим полем концентрация A-центров в 2 раза больше, чем без поля. Следовательно, необхо-

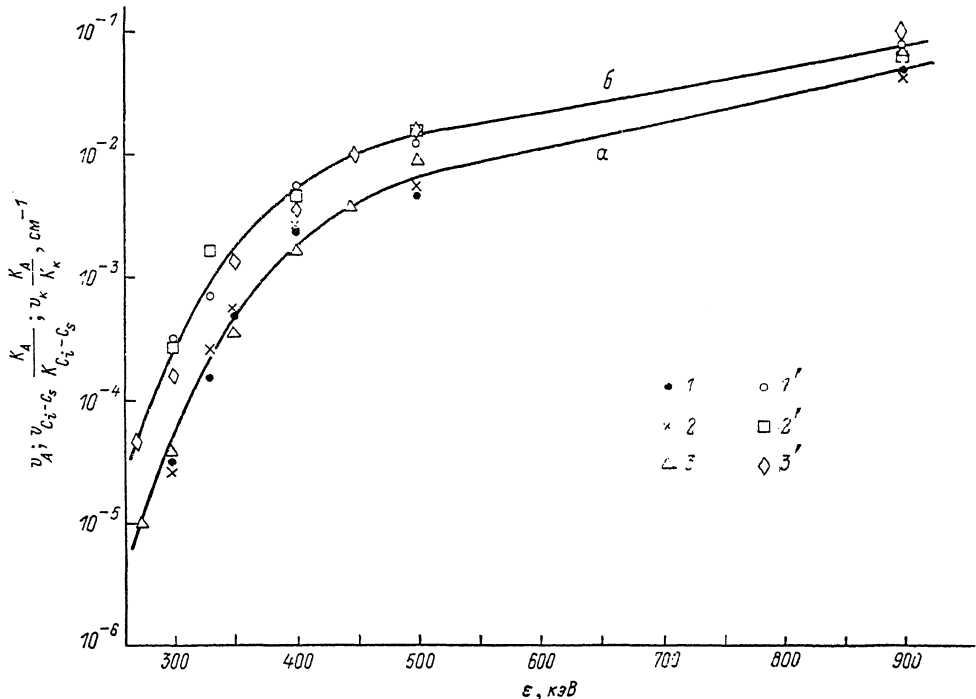


Рис. 1. Энергетические зависимости скорости введения A-центров (1, 1'), комплексов C_i-C_s (2, 2') и K-центров (3, 3') при 300 (1—3) (а) и 500 К (1'—3') (б).

димо считать, что при облучении с внешним электрическим полем концентрация вакансий в ООЗ больше, чем в области электрической нейтральности (ОЭН). В том же слое средняя концентрация K-центров N_K для группы Ia $N_{K(Ia)}=-2 \cdot 10^{14}$, а для группы Iб $N_{K(Ib)}=0.5 \cdot 10^{14} \text{ см}^{-3}$, т. е. при облучении с внешним электрическим полем концентрация K-центров в 4 раза больше, чем при облучении без поля (аналогичное соотношение получено в работе [22]). Из этого соотношения следует сделать вывод, что в состав K-центра входит по меньшей мере одна вакансия.

Группа II. На рис. 1 приведены зависимости $v_K(\varepsilon)$ при $T_{\text{об}}=300$ и 500 К. Там же для сравнения приведены энергетические зависимости скоростей введения A-центров $v_A(\varepsilon)$ и комплексов C_i-C_s $v_{C_i-C_s}$ в p^+-n -диодов (по данным работы [21]). На рис. 1 значения $v_{C_i-C_s}$ и v_K умножены на $K_A/K_{C_i-C_s}=0.07/0.045$ и на $K_A/K_K=0.07/0.025$ соответственно, где коэффициенты K характеризуют вероятность взаимодействия подвижного компонента (V , I , C_i) с зародышем будущего РД [21].

Главная трудность, возникающая при попытке строго количественного анализа температурных зависимостей скоростей введения различных РД, обусловлена невозможностью измерения скоростей введения пар Френкеля (ПФ)

в кремнии при не слишком низких температурах и состоит в следующем. Необходимо априори определить, обусловлен ли рост скоростей введения РД с повышением температуры уменьшением пороговой энергии $E_d^{\text{Ф}}$ или увеличением коэффициента K . Поскольку коэффициенты K практически не зависят от энергии [21], соотношение скоростей образования одних и тех же РД при разных температурах должно было бы оставаться постоянным, если бы главной была зависимость $K(T)$. В действительности, однако, различие этих скоростей возрастает при уменьшении энергии ϵ . Это заставляет нас вести расчет в предположении, что главной является зависимость $v_{\text{IF}}(T)$, а возможной зависимостью $K(T)$ пренебречь. Поэтому при построении рис. 1 проводилось усреднение K по экспериментальным данным, относящимся к обеим температурам (300 и 500 К) для каждого РД. Коэффициенты K содержат неизвестные времена

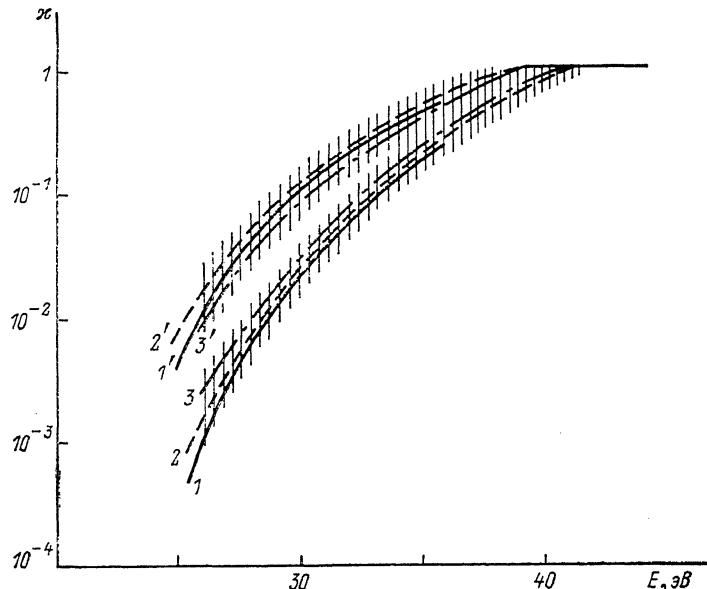


Рис. 2. Зависимость вероятности смещения атома кремния от получаемой им энергии, вычисленная из экспериментальных данных.

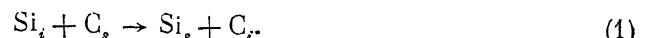
1—3, 1'—3' — то же, что и на рис. 1.

жизни τ_v^* , τ_l^* вакансий и межузельных атомов относительно их захвата на зародыши будущих РД. Поэтому, вообще говоря, естественно ожидать, что для разных РД и абсолютные величины этих коэффициентов, и их температурные зависимости могут сильно различаться. Однако для исследованных нами образцов эти коэффициенты одного порядка. Действительно, $K_4 = (0.07 \pm 0.02)$ и $K_{C_s-C_s} = (0.045 \pm 0.01) \text{ см}^{-1}$ [21]; в настоящей работе имеем $K_K = (0.025 \pm 0.01) \text{ см}^{-1}$.

Согласно [14], K -центр является комплексом COV_2 . Однако для образования диваканции при смещении двух соседних атомов кремния из их узлов требуется приблизительно вдвое большая энергия, чем для смещения одного атома. Следовательно, в этом случае порог дефектообразования (ПД) K -центра должен быть вдвое выше, чем ПД вакансационно-примесных комплексов (например, A -центров), что противоречит результатам наших экспериментов. Диваканция может образоваться также из двух вакансий, возникших независимо. В этом случае вероятность образования диваканции пропорциональна квадрату стационарной концентрации вакансий, т. е. $(\eta x)^2$, где $\eta(\epsilon, E)$ — вероятность передачи атому энергии E электроном с энергией ϵ ; $x(E)$ — вероятность того, что регулярный атом, получивший энергию E , сместится из узла кристаллической решетки. Вероятность поочередного присоединения двух вакансий к кислороду, углероду или комплексу CO также пропорциональна $(\eta x)^2$. При $\epsilon < 500$ кэВ функция $x(E)$ резко убывает с уменьшением энергии [21]. Поэтому при $\epsilon < 500$ кэВ [скорость введения комплекса, содержащего диваканцию, должна убывать с уменьшением энергии более резко, чем скорость введения

комплекса, содержащего одну вакансию. Следовательно, совпадение энергетических зависимостей $v_K(\varepsilon)$, $v_A(\varepsilon)$ и $v_{C_i-C_s}(\varepsilon)$ свидетельствует о том, что в K -центр входит одна вакансия.

Из экспериментальных зависимостей $v_K(\varepsilon)$ следует также, что энергетический порог образования K -центра определяется пороговой энергией образования $\Pi\Phi$, так как после ее образования образуется и межузельный углерод путем реакции Уоткинса



Совпадение зависимостей $v_K(\varepsilon)$, $v_A(\varepsilon)$ и $v_{C_i-C_s}(\varepsilon)$ приводит к совпадению значений функции $\chi(E)$, определенной по каждой из этих энергетических зависимостей (рис. 2), и указывает на применимость теории [23] к образованию K -центров.

Рассмотрим возможные пути образования K -центра. В работе [21] показано, что в процессе выращивания кремния в нем образуется комплекс узельного углерода C_s с межузельным кислородом O_i . Этот комплекс мало подвижен и стабилен из-за высокой энергии связи. K -центр может образоваться путем захвата вакансии этим комплексом



Анализ температурных зависимостей скоростей введения различных РД привел авторов работы [14] к выводу о малой вероятности реакции (2), поскольку эффективное образование K -центров начинается не при той температуре, когда в p -Si становятся подвижными ваканси ($T \sim 170$ К), а при той температуре, когда становится подвижным межузельный углерод ($T \sim 300$ К). На основании результатов работы [14] можно считать, что заключительным актом образования K -центра является присоединение C_i к некоторому X -центру, состав которого рассмотрим далее. В пользу этого утверждения свидетельствуют данные работы [25], где показано, что в ходе отжига C_i-C_s возрастает концентрация K -центров, однако это возрастание не сопровождается уменьшением концентрации A -центров, т. е. K -центр образуется не путем присоединения C_i к A -центру.

Совокупность экспериментальных данных можно объяснить в предположении, что K -центр образуется путем следующих реакций:



Комплекс VO_2 не наблюдается в ходе электрических измерений (в том числе емкостных). Поэтому мы предполагаем, что он либо не активен электрически, либо создает мелкие уровни в запрещенной зоне кремния. Реакции (3) объясняют, в частности, возрастание концентрации K -центров в ходе отжига A -центров [26]. Действительно, при температуре отжига A -центров ($T \approx 350$ °С) межузельный кислород подвижен [27, с. 43], поэтому возможен захват межузельного кислорода нераспавшимися A -центрами с образованием комплекса VO_2 и последующим присоединением межузельного углерода.

На основании наших экспериментов и литературных данных можно сделать следующий вывод. K -центр содержит наряду с кислородом и углеродом одну вакансию и является, по-видимому, комплексом межузельный углерод—вакансия—два атома кислорода.

Авторы выражают признательность И. И. Ясковцу за обсуждение вопроса и ряд полезных советов.

Список литературы

- [1] Vavilov V. S., Plotnikov A. F. // J. Phys. Soc. Japan. 1963. V. 18. (Suppl. 3). P. 230—234.
- [2] Sonder E., Templeton L. C. // J. Appl. Phys. 1965. V. 36. N 6. P. 1811—1815.
- [3] Almeleh N., Goldstein B. // Phys. Rev. 1966. V. 149. N 2. P. 687—692.
- [4] Козлов И. П., Логвиненко Т. А., Лугаков П. Ф., Ткачев В. Д. // ФТП. 1974. Т. 8. В. 8. С. 1431—1435.

- [5] Brelot A., Charlemagne J. // Irrad. Eff. Semicond. / Ed. by J. W. Corbett, G. D. Watkins. N. Y., 1971. P. 161–167.
- [6] Walker J. W., Sah C. T. // Phys. Rev. B. 1973. V. 7. N 10. P. 4587–4605.
- [7] Власенко Л. С., Лебедев А. А., Рожков В. М. // ФТП. 1980. Т. 14. В. 11. С. 2152–2156.
- [8] Trombetta J. M., Watkins G. D. // Appl. Phys. Lett. 1987. V. 51. N 14. P. 1103–1105.
- [9] Davies G. D., Oates A. S., Newman R. C., Wooley R., Lightowers E. C., Birns M. J., Wilkes J. C. // J. Phys. C. 1986. V. 19. N 6. P. 841–855.
- [10] Londos C. A. // Japan. J. Appl. Phys. 1988. V. 27. N 11. P. 2089–2093.
- [11] Mooney P. M., Cheng L. J., Süly M., Gerson J. D., Corbett J. W. // Phys. Rev. B. 1977. V. 15. N 8. P. 3836–3843.
- [12] Lee Y. H., Cheng L. J., Gerson J. D., Mooney P. M., Corbett J. W. // Sol. St. Commun. 1977. V. 21. N 1. P. 109–111.
- [13] Calma A. H., Corelli J. C. // Phys. Rev. 1968. V. 173. N 3. P. 734–745.
- [14] Lee Y. H., Corbett J. W., Brower K. L. // Phys. St. Sol. A. 1977. V. 41. N 2. P. 637–647.
- [15] Jellison G. E. // J. Appl. Phys. 1982. V. 53. N 8. P. 5715–5719.
- [16] Ferencz G., Londos C. A., Pavelka T., Somogi M. // J. Appl. Phys. 1988. V. 63. N 1. P. 183–189.
- [17] Brotherton S. D., Bradley P. // J. Appl. Phys. 1982. V. 53. N 8. P. 5720–5732.
- [18] Берман Л. С., Витовский Н. А., Воронков В. Б., Ломасов В. Н., Ткаченко В. Н. // ФТП. 1990. Т. 24. В. 7. С. 1213–1215.
- [19] Берман Л. С.. Лебедев А. А. Емкостная спектроскопия глубоких центров в полупроводниках. Л., 1981. 176 с.
- [20] Берман Л. С., Ременюк А. Д., Толстобров М. Г. // Препринт ФТИ АН СССР. Л.; 1985. № 974.
- [21] Берман Л. С., Витовский Н. А., Ломасов В. Н., Ткаченко В. Н. // ФТП. 1990. Т. 24. В. 10. С. 1816–1822.
- [22] Болотов В. В., Карпов А. В., Стучинский В. А. // ФТП. 1988. Т. 22. В. 1. С. 49–55.
- [23] Винецкий В. Л., Ясковец И. И. // ФТТ. 1972. Т. 14. В. 10. С. 3046–3052.
- [24] Newman R. M., Wakefield J. // J. Phys. Chem. Sol. 1961. V. 19. N 2. P. 230–235.
- [25] Берман Л. С., Желко В. И., Ломасов В. Н., Ткаченко В. Н. // ФТП. 1989. Т. 23. В. 12. С. 2129–2132.
- [26] Берман Л. С., Витман Р. Ф., Шуман В. Б. // ФТП. 1975. Т. 9. В. 2. С. 311–315.
- [27] Мицис А. Примеси с глубокими уровнями в полупроводниках. М., 1977. 562 с.

Физико-технический институт
им. А. Ф. Иоффе АН СССР
Ленинград

Получена 17.08.1990
Принята к печати 17.08.1990